

Figure: 1

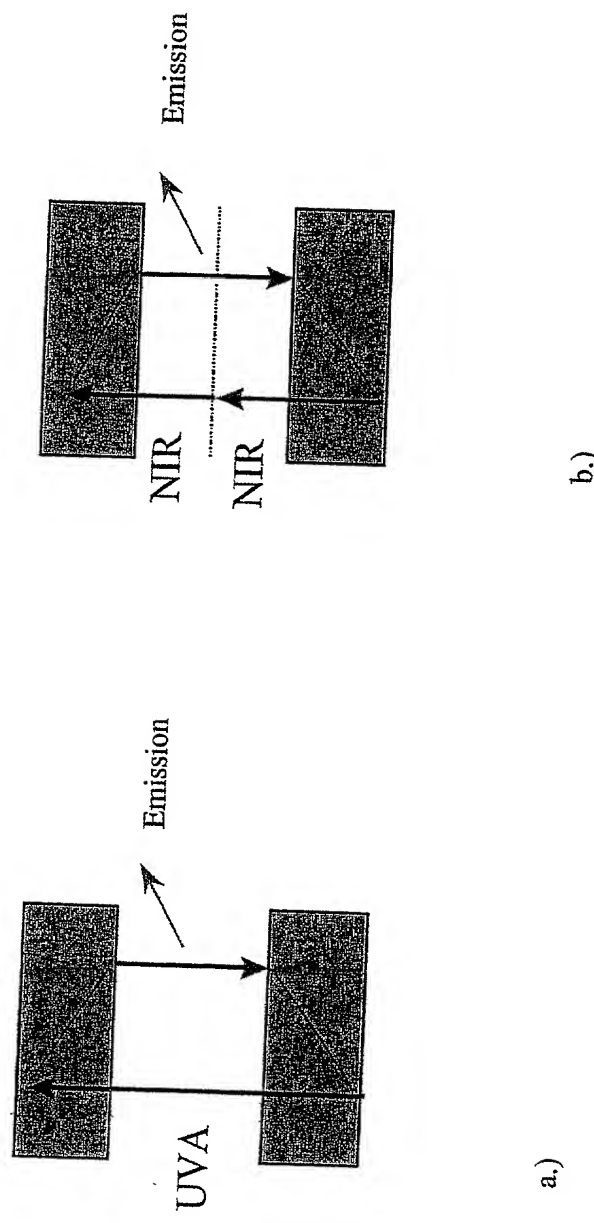


Figure: 2

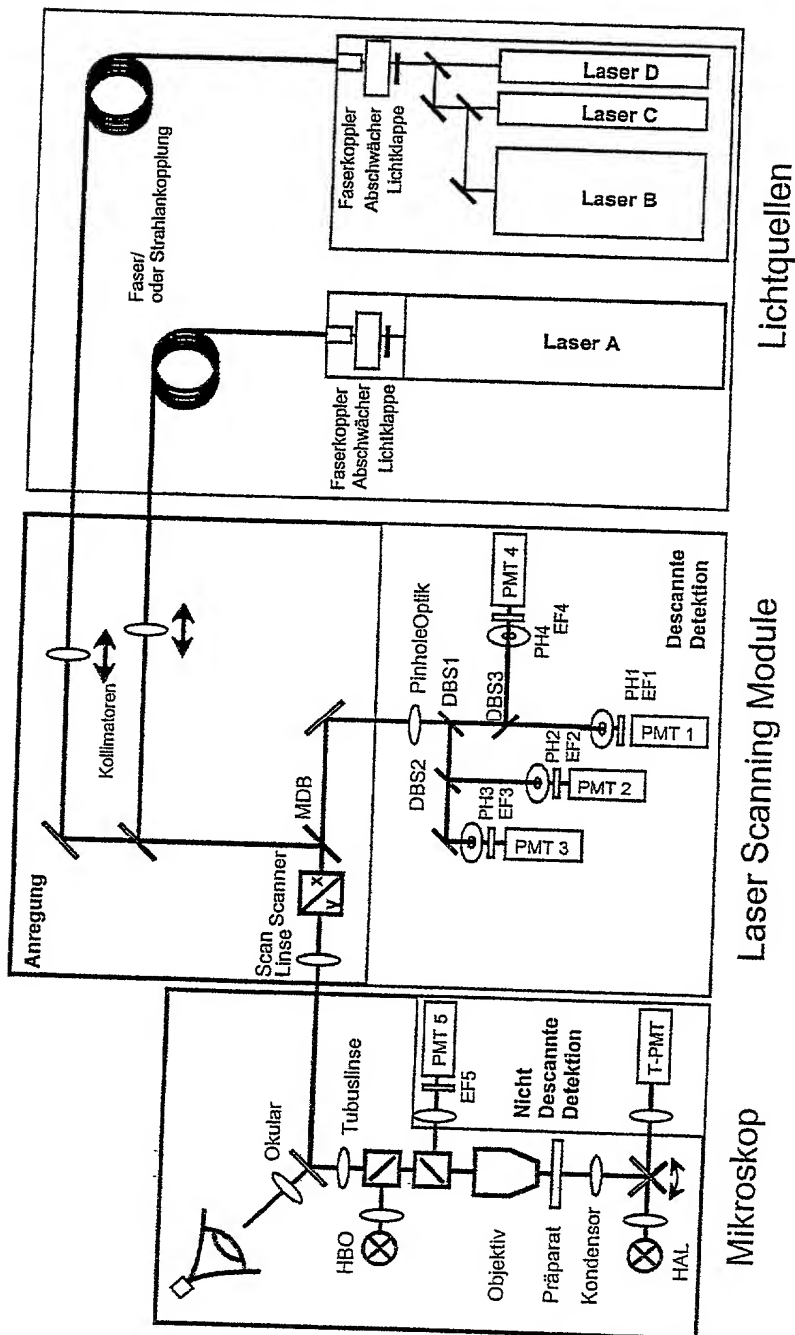


Figure: 3

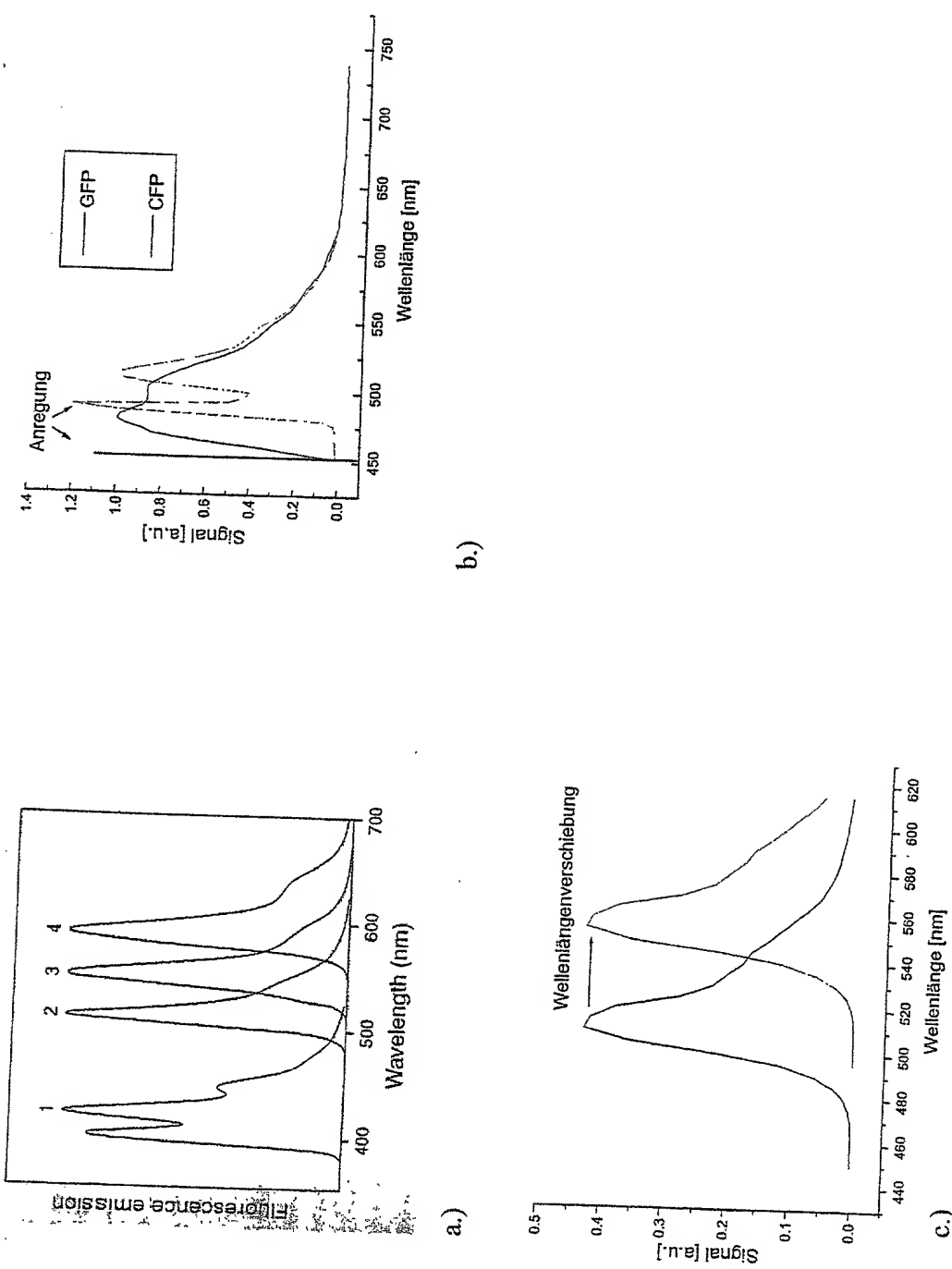


Figure: 4

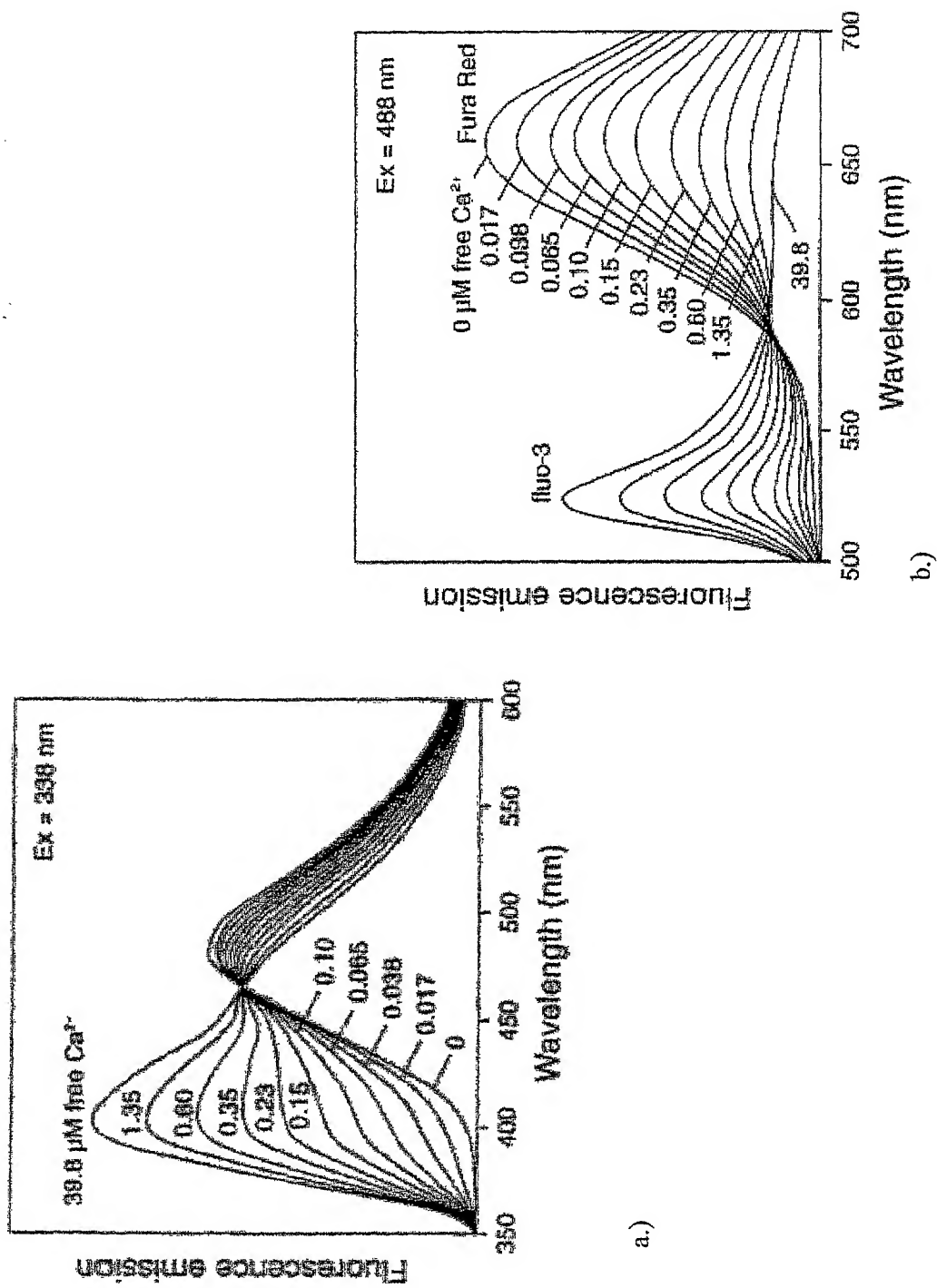


Figure: 5

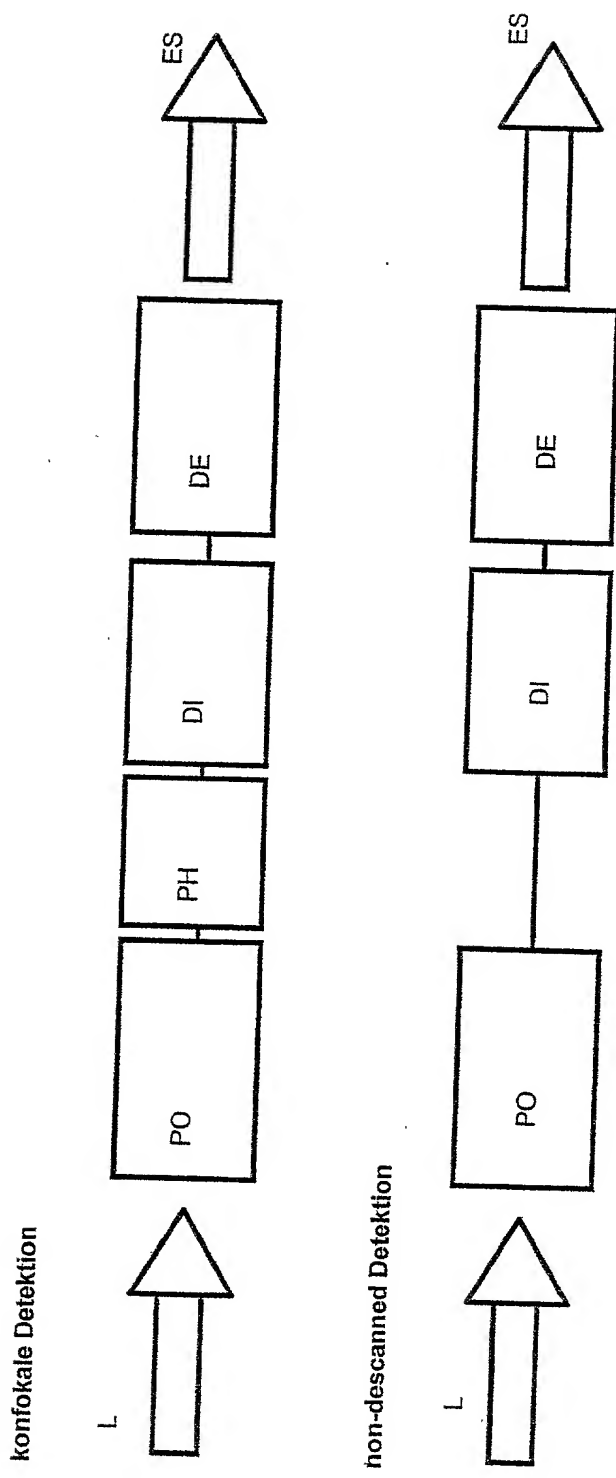


Figure: 6

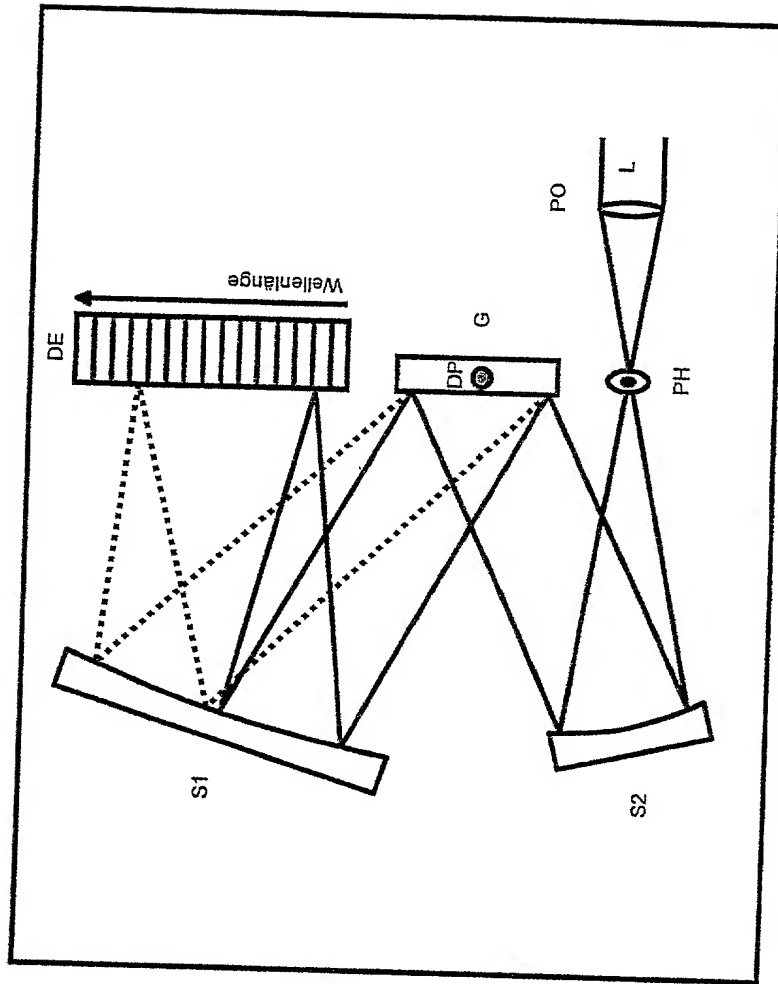


Figure: 7

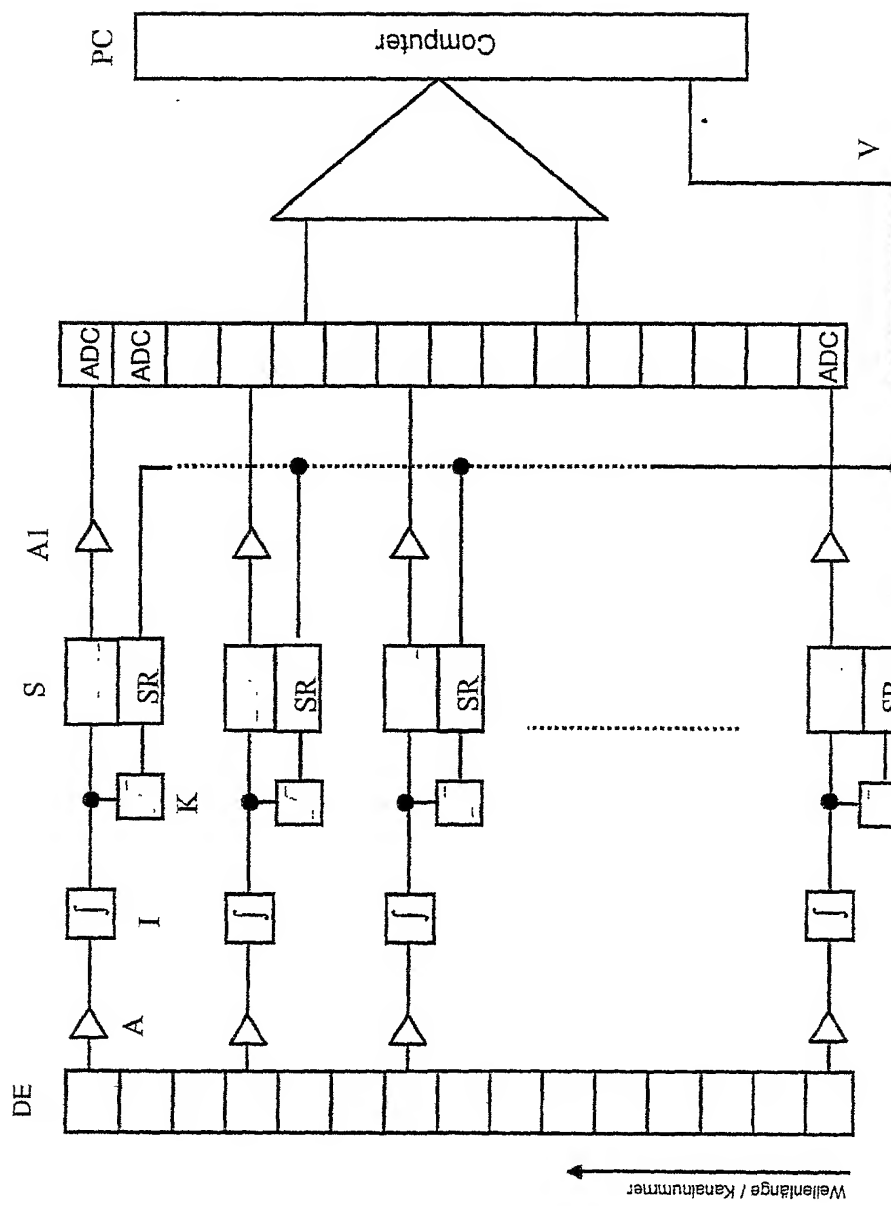


Figure: 8

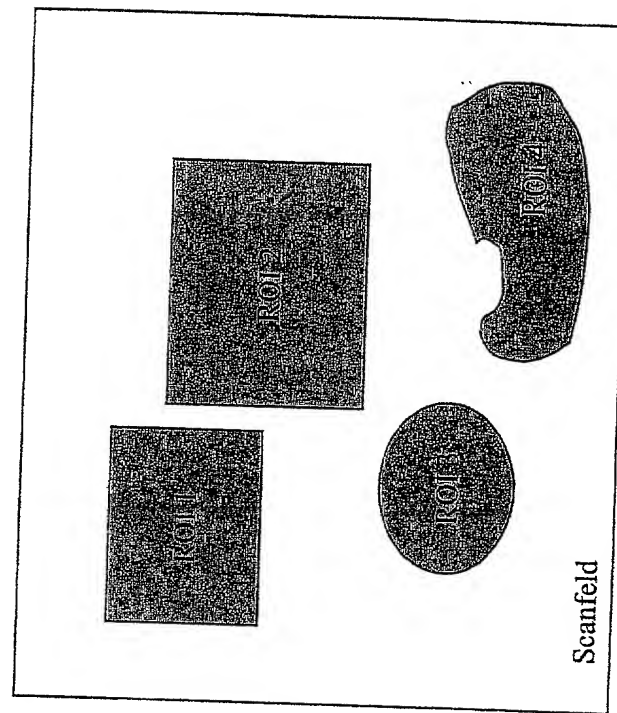
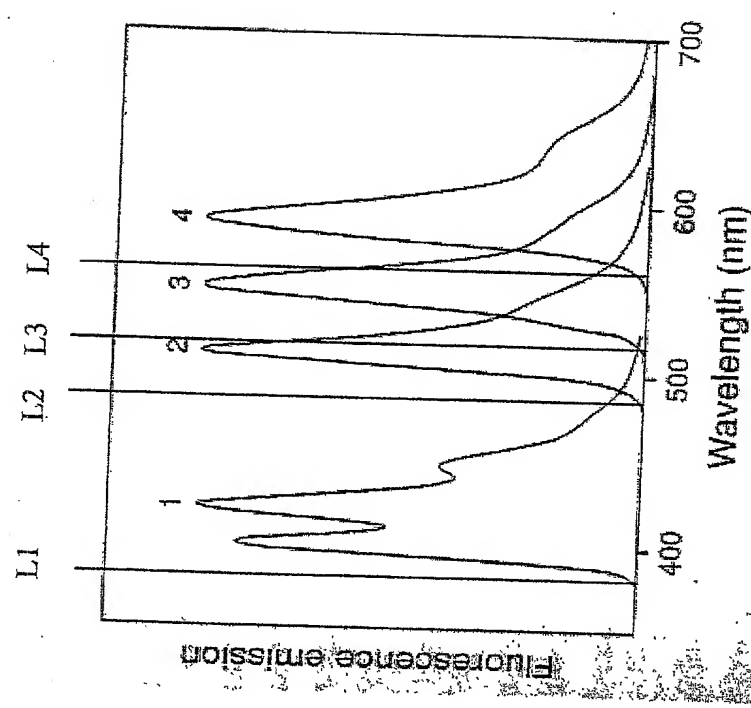


Figure: 9

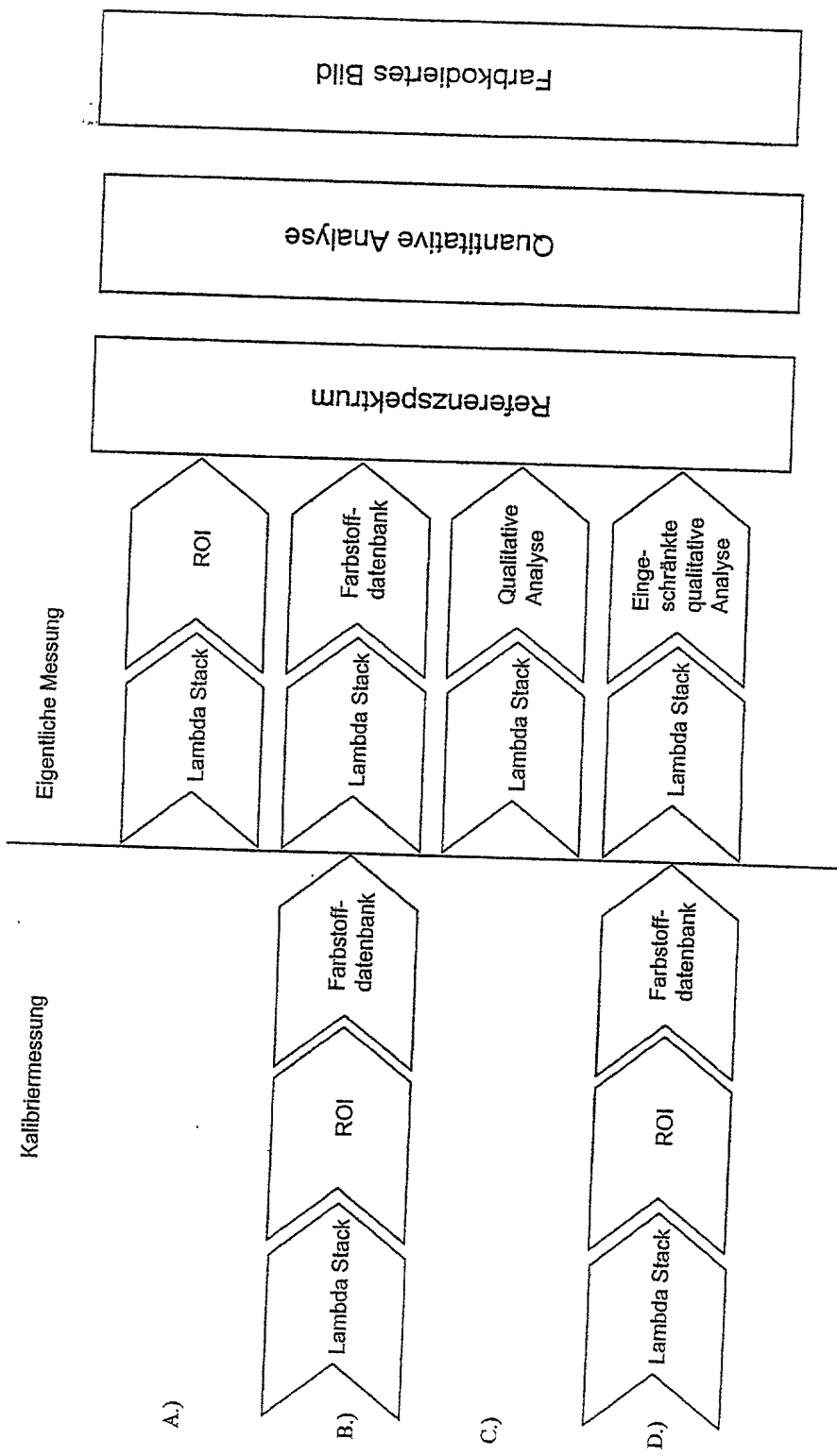


Figure: 10

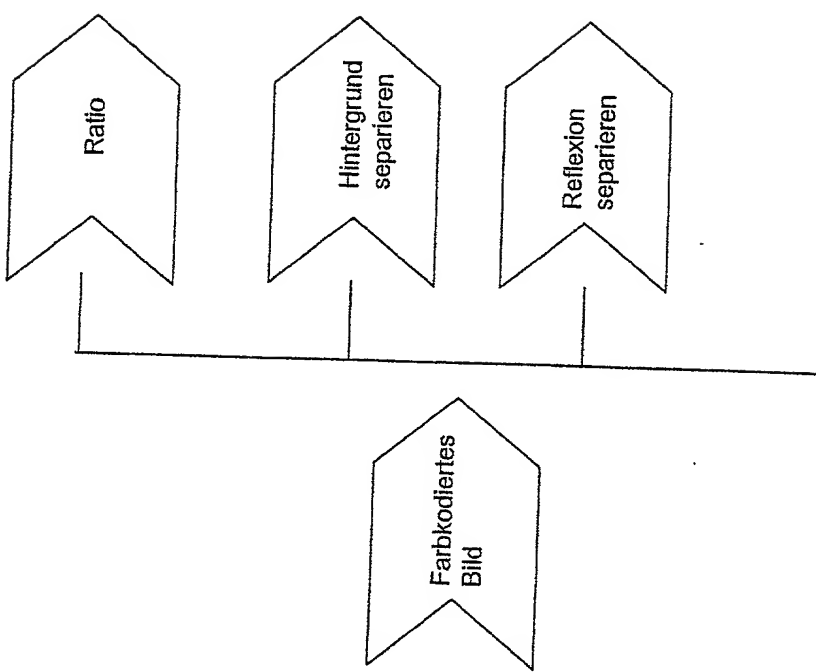


Figure: 11

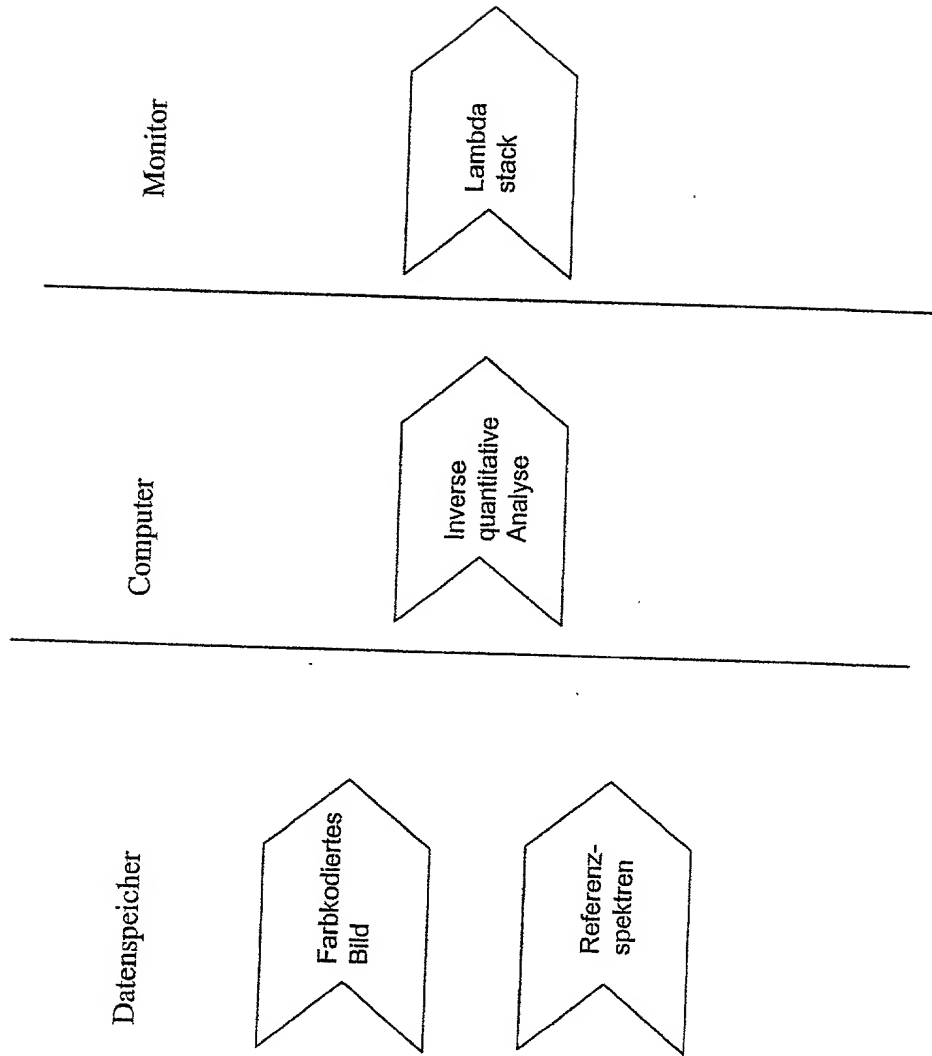
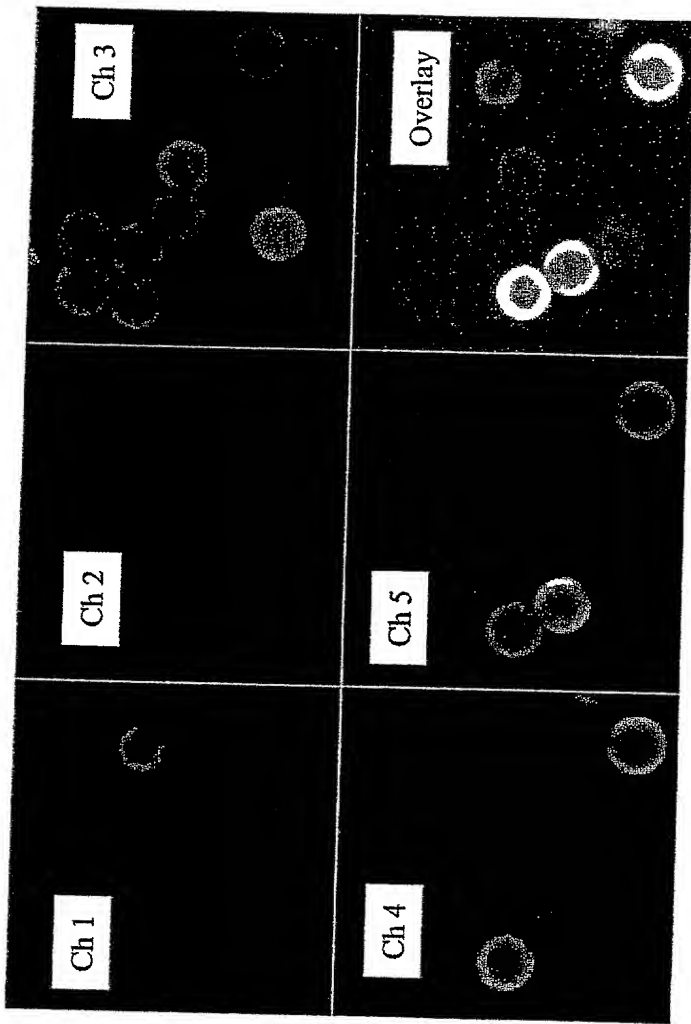


Figure: 12

b.)



a.)

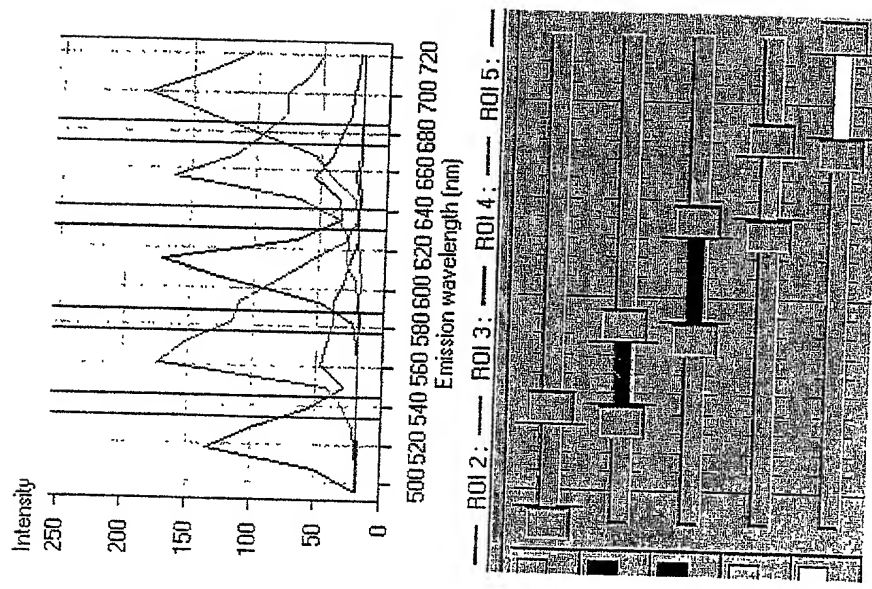


Figure: 13

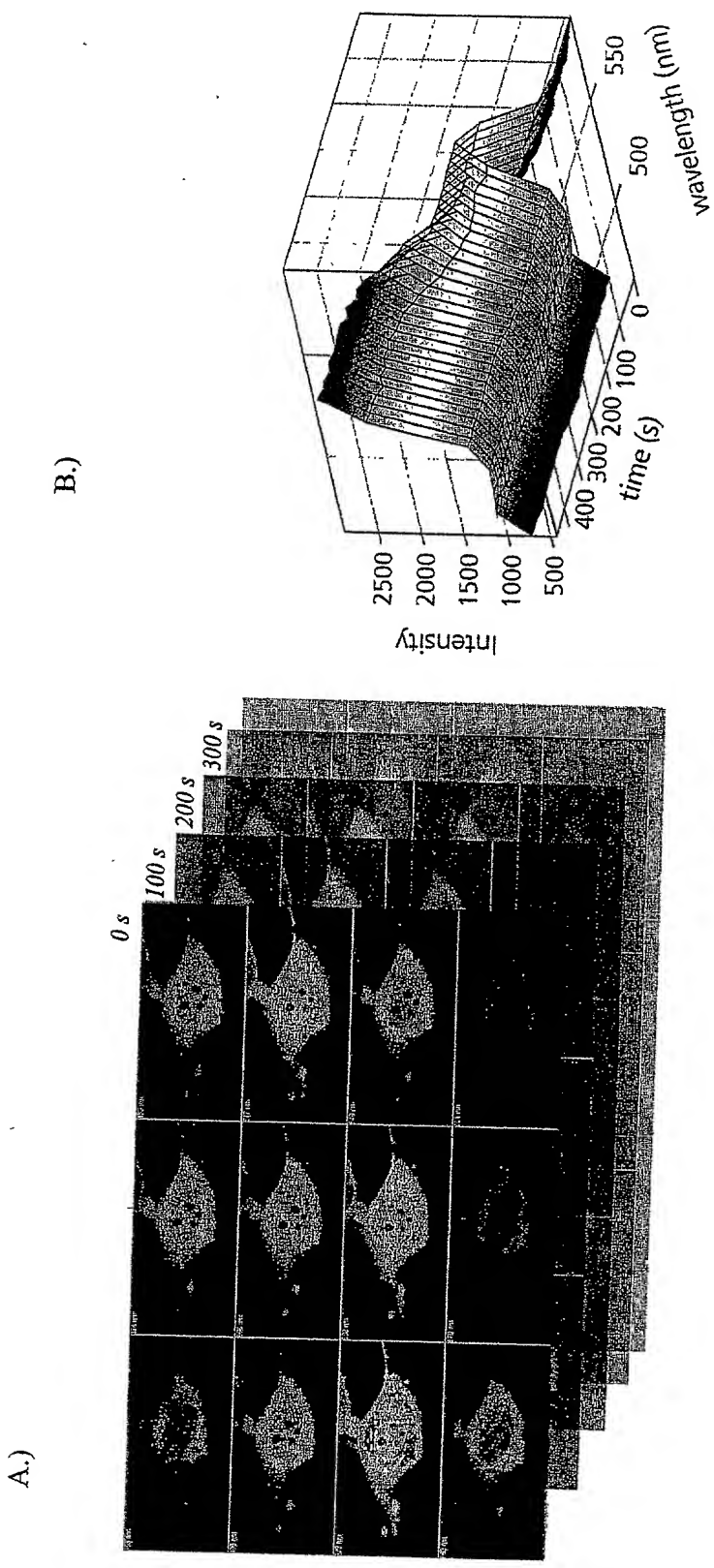


Figure: 14

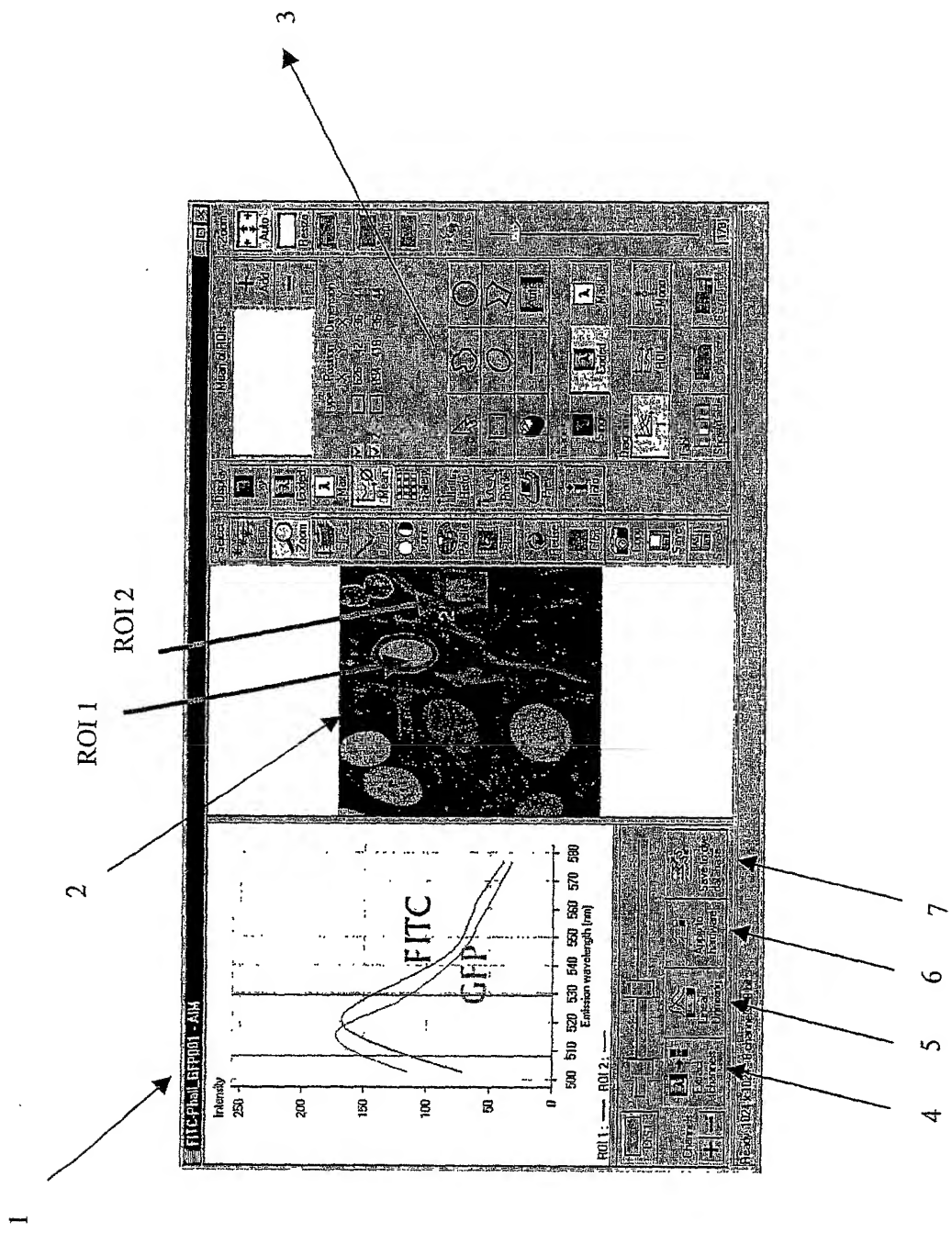
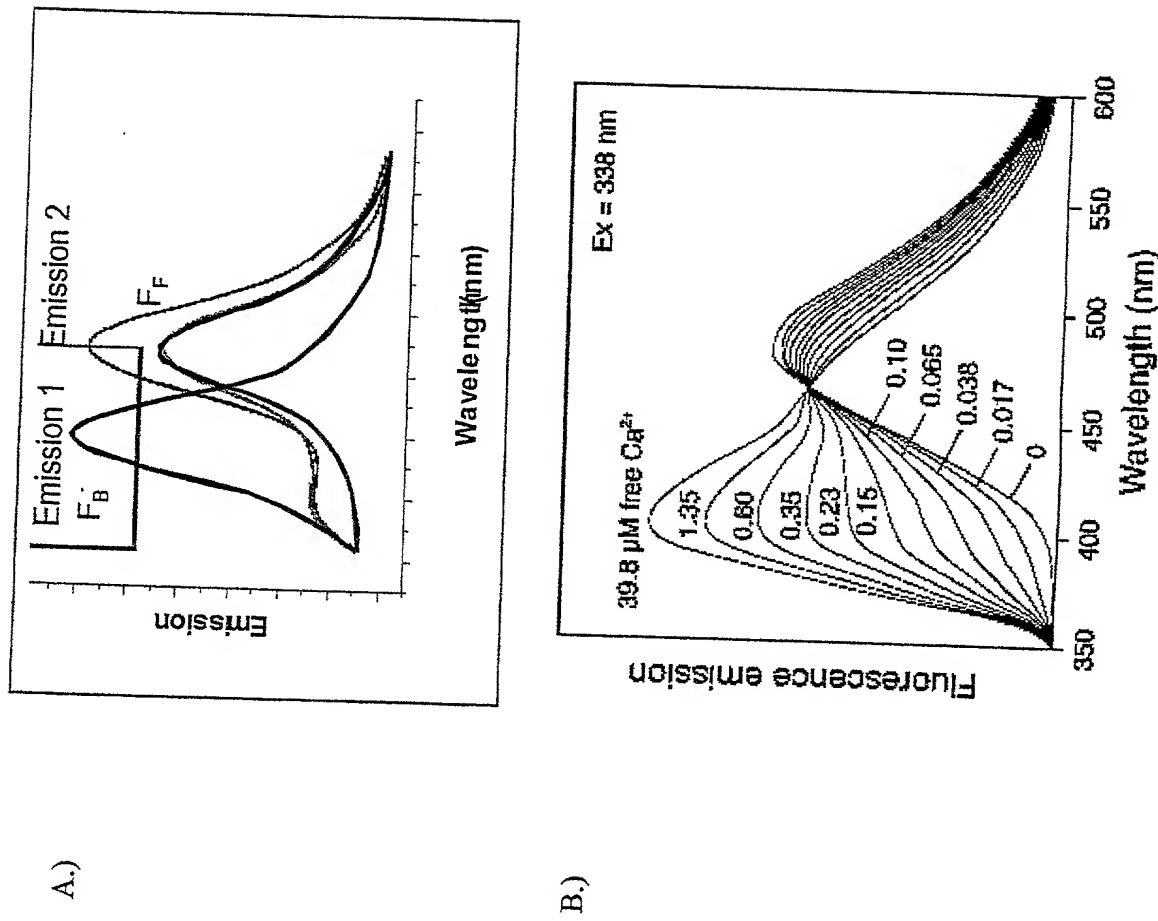
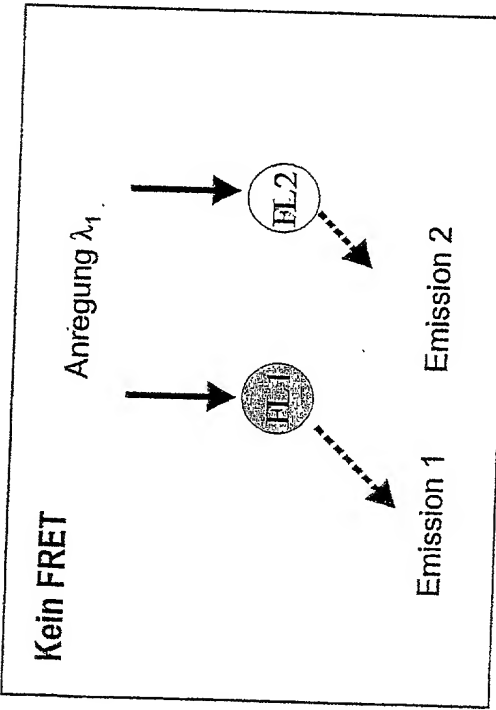


Figure: 15



A.)



B.)

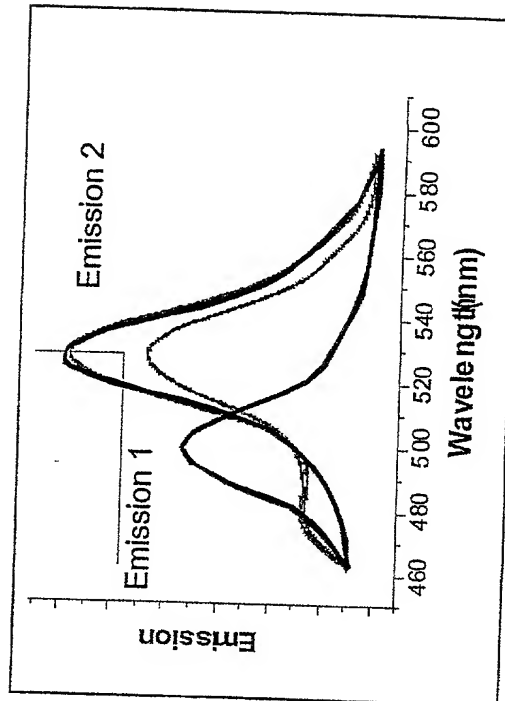
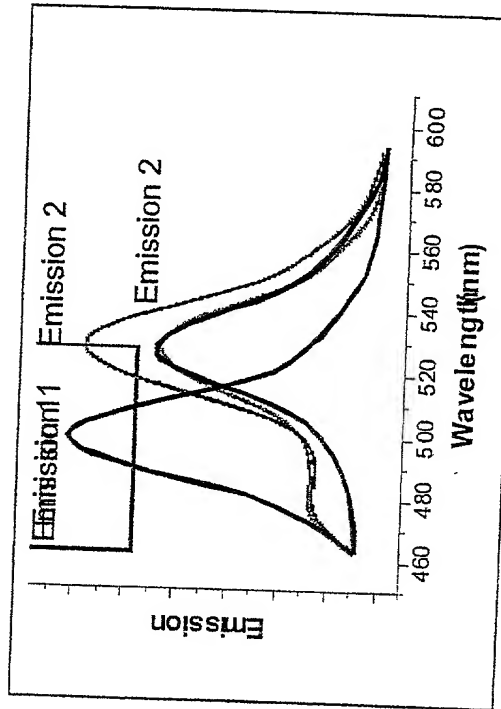
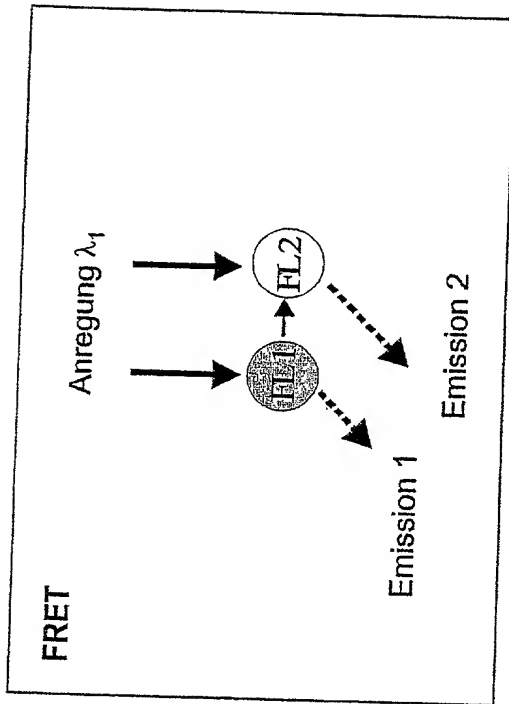
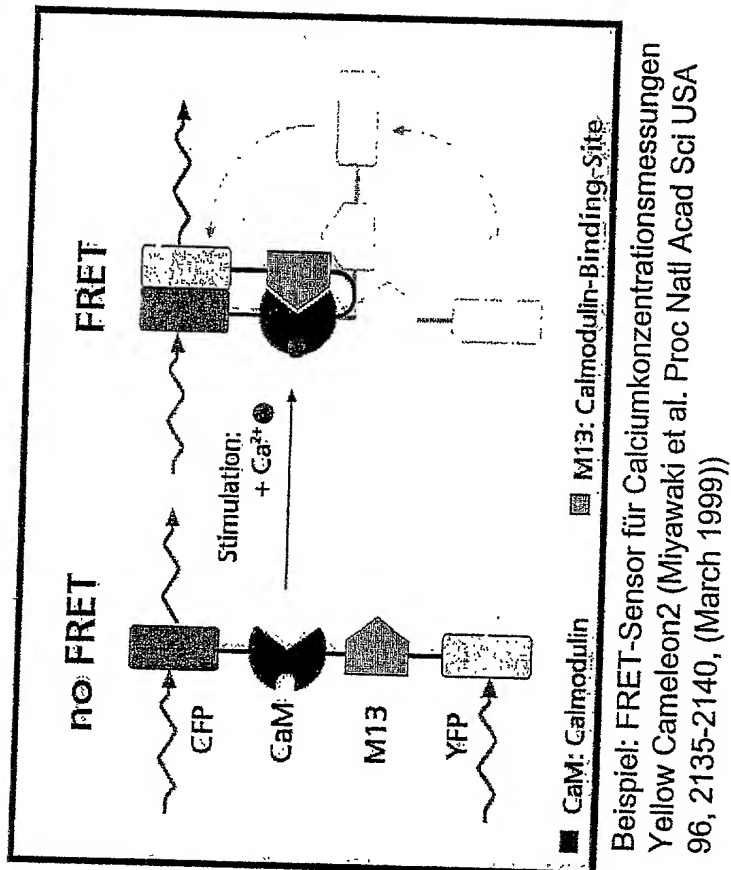


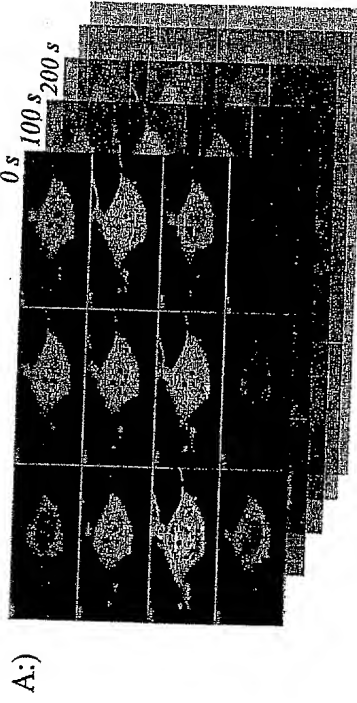
Figure: 16

Figure: 17

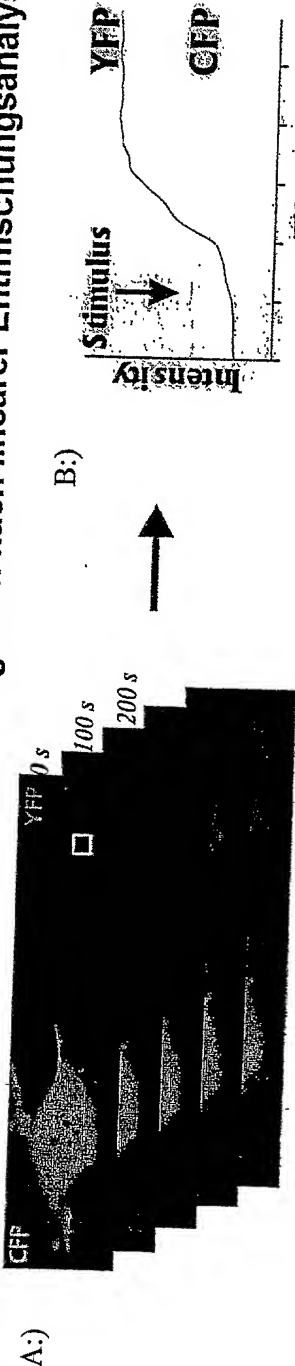


Beispiel: FRET-Sensor für Calciumkonzentrationsmessungen
Yellow Cameleon2 (Miyawaki et al. Proc Natl Acad Sci USA
96, 2135-2140, (March 1999))

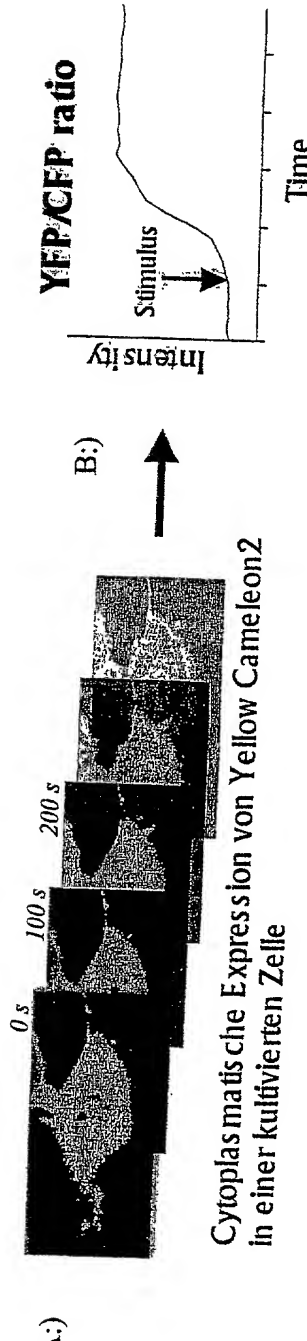
1. Serie von Lambda Stacks (xyλt)



2. Serie von Bildern mit CFP- bzw. YFP-Signalen nach linearer Entmischungsanalyse



3. Serie von Ratio-Bildern (YFP/CFP)



Cytoplasmatische Expression von Yellow Cameleon2
in einer kultivierten Zelle

Figure: 18